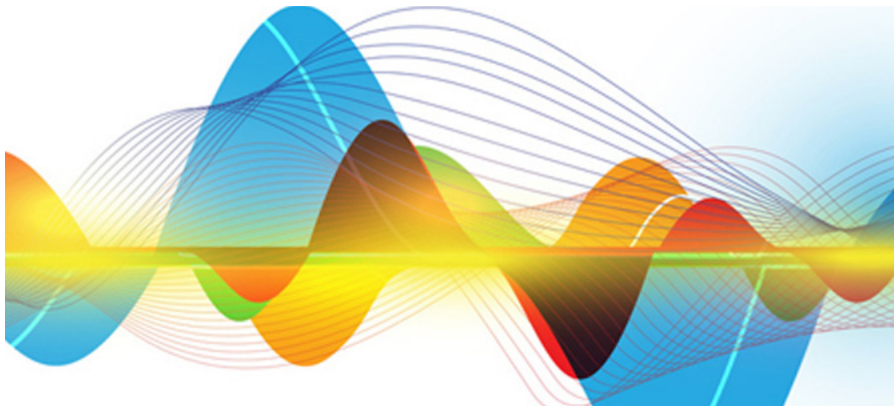


Traitement Numérique du Signal : TP1 compte rendu

MOUDDENE Hamza

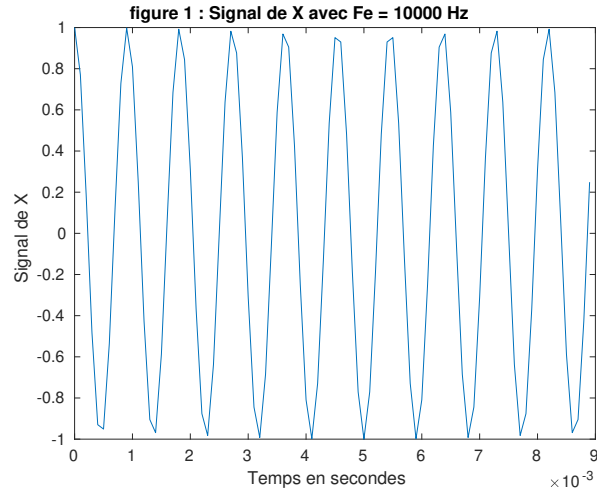
2019 - 2020

Première année Département Sciences du Numérique

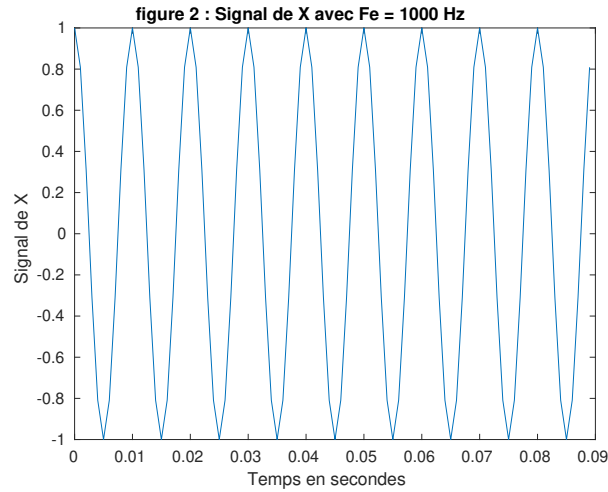


1 Effet de l'échantillonnage

Nous allons généré 90 échantillons d'un cosinus, d'amplitude $1V$, de fréquence $f_0 = 1100Hz$ et échantillonné à $F_e = 10000Hz$ où $x(t) = A.\cos(2\pi f_0 t) = \cos(2\pi.1100.t)$ tel que $\forall t \in [0, (N-1)T_e]$.



Dans un deuxième temps, Nous allons généré 90 échantillons d'un cosinus, d'amplitude $1V$, de fréquence $f_0 = 1100Hz$ et échantillonné à $F_e = 1000Hz$ où $x(t) = A.\cos(2\pi f_0 t) = \cos(2\pi.1100.t)$ tel que $\forall t \in [0, (N-1)T_e]$.



Sur la deuxième figure, la fréquence mesurée sur le cosinus tracé n'est pas $f_0 = 1100Hz$, car on est dans le cas d'un recouvrement, la condition de Shannon n'est pas respectée

$$F_e < 2.f_0$$

. Alors il n'est pas possible de reconstituer le signal $x(t)$, à partir de la suite des échantillons prélevés tous les T_e , car les périodisations de $X(f)$ tous les F_e vont venir se superposer à $X(f)$.

2 Transformée de Fourier discrète (TFD)

2.1 Etude théorique

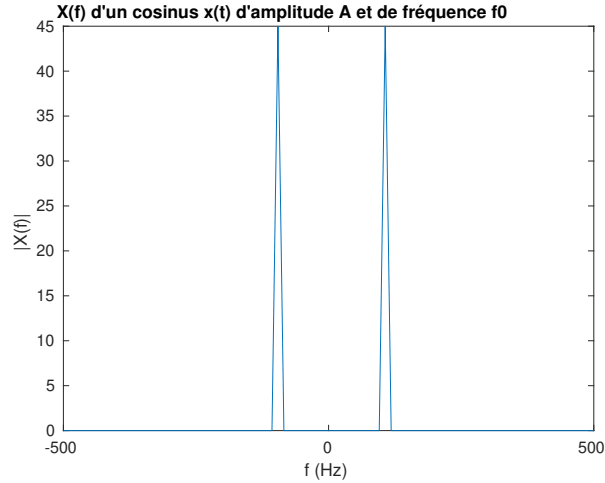
(a) la transformée de Fourier, $X(f)$, d'un cosinus $x(t) = A.\cos(2\pi f_0 t)$ d'amplitude A et de fréquence f_0 est :

$$X(f) = \int_{-\infty}^{+\infty} x(t).exp(-2j\pi ft)dt = \int_{-\infty}^{+\infty} A.\cos(2\pi f_0 t).exp(-2j\pi ft)dt$$

$$X(f) = A. \int_{-\infty}^{+\infty} \cos(2\pi f_0 t).exp(-2j\pi ft)dt = A. \int_{-\infty}^{+\infty} \frac{exp(2j\pi f_0 t) + exp(-2j\pi f_0 t)}{2}.exp(-2j\pi ft)dt$$

$$X(f) = \frac{A}{2}. \int_{-\infty}^{+\infty} [exp(2j\pi f_0 t) + exp(-2j\pi f_0 t)].exp(-2j\pi ft)dt$$

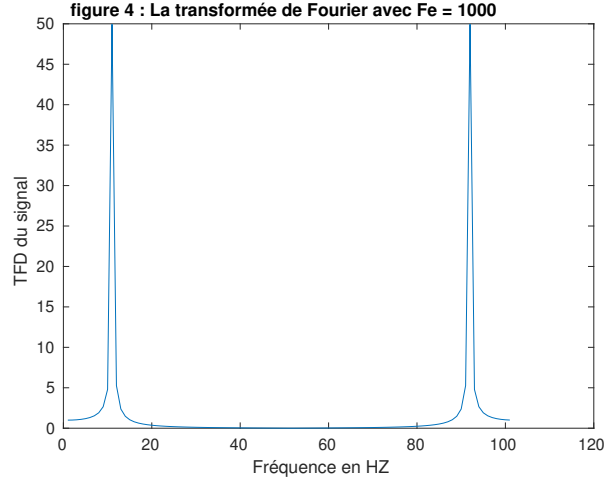
$$X(f) = \frac{A}{2}. \int_{-\infty}^{+\infty} [exp(2j\pi(f-f_0)t) + exp(-2j\pi(f+f_0)t)]dt = \frac{A}{2}. [\delta(f-f_0) + \delta(f+f_0)]$$



(b) $X_D(f)$ est la transformée de Fourier d'un cosinus d'amplitude A et de fréquence f_0 , échantillonné à T_e (échantillonnage uniforme) et tronqué sur une longueur de N , donc le signal est défini à des instants discrets par des valeurs réelles, alors :

$$X_D(f) = \frac{1}{T_e} \cdot \sum_{k=0}^{N-1} X(f - \frac{k}{T_e}) = \frac{1}{T_e} \cdot \sum_{k=0}^{N-1} \frac{A}{2} [\delta(f - \frac{k}{T_e} - f_0) + \delta(f - \frac{k}{T_e} + f_0)]$$

$$X_D(f) = \frac{1}{T_e} \cdot \frac{A}{2} \cdot \sum_{k=0}^{N-1} [\delta(f - \frac{k}{T_e} - f_0) + \delta(f - \frac{k}{T_e} + f_0)]$$



(c) On obtient le meme signal que celle de la question (a) sauf que nous avons une autre composante en 0.

1. Qu'est-ce qui peut justier que l'on calcule la transformée de Fourier numérique entre 0 et Fe?

On effectue un échantillonnage temporel ce qui a pour effet la périodisation du signal.

2. Donner l'expression générale de $X_D(n\frac{F_e}{N})$ en fonction de $x(kT_e)$?
On a :

$$X_D(f) = \sum_{k=0}^{N-1} x(k.T_e).exp(-2j\pi f k T_e)$$

donc :

$$X_D(n\frac{F_e}{N}) = \sum_{k=0}^{N-1} x(k.T_e).exp(-2j\pi n \frac{F_e}{N} k T_e)$$

d'où:

$$X_D(n\frac{F_e}{N}) = \sum_{k=0}^{N-1} x(k.T_e).exp(-2j\pi n \frac{F_e}{N} k T_e) = \sum_{k=0}^{N-1} x(k.T_e).exp(-2j\pi n \frac{F_e}{N} k)$$

3.a) On a :

$$Y_D(n\frac{F_e}{MN}) = \sum_{k=0}^{MN-1} y(kT_e).exp(-2j\pi n \frac{F_e}{MN} k T_e)$$

d'où:

$$Y_D(n\frac{F_e}{MN}) = \sum_{k=0}^{MN-1} y(kT_e) \cdot \exp(-2j\pi n \frac{k}{MN})$$

On a d'après la définition de $y(kT_e)$ on déduit que :

$$Y_D(n\frac{F_e}{MN}) = \sum_{k=0}^{N-1} x(kT_e) \cdot \exp(-2j\pi n \frac{k}{MN})$$

3.b) On constate que Y_D a la même expression que celle de X_D sauf que le nombre de points dans Y_D est plus grand que celui de X_D , l'intérêt du Zero Padding est de donner un signal plus précis car on a augmenté le nombre de points.